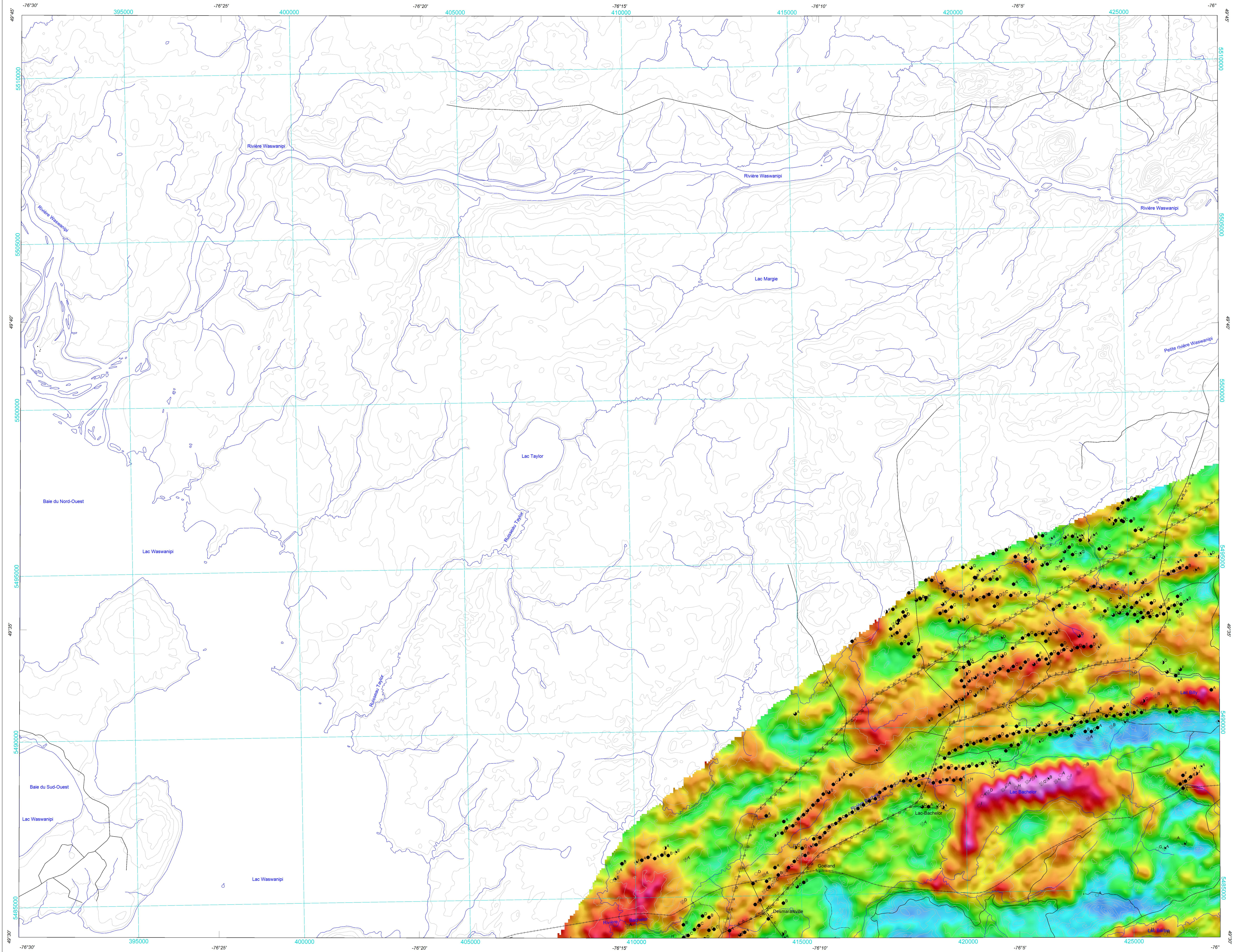




GEOPHYSICAL SERIES
APPARENT CONDUCTANCE



Le ministère des Ressources naturelles et de la Faune du Québec (MRNF) et Ressources naturelles Canada (NRCan) remercient sincèrement Xstrata Zinc Canada et Mines Virginia Inc. d'avoir procuré ces données au Plan carte du MRNF et au projet Abitibi du programme de l'Initiative géoscientifique ciblée (IGSC-3) du Secteur des sciences de la Terre de NRCan permettant ainsi la publication de cette carte.

The Ministère des Ressources naturelles et de la Faune du Québec (MRNF) and Natural Resources Canada (NRCan) wish to sincerely thank Xstrata Zinc Canada and Mines Virginia Inc. for providing these data to the Copper Plan of the MRNF and to the Abitibi Project of the Targeted Geoscience Initiative (TGI-3) Program of the Earth Sciences Sector of NRCan, which have made this publication of this map possible.

Auteurs : Commission Géologique du Canada et Ministère des Ressources naturelles et de la Faune du Québec

Authors: Geological Survey of Canada and Ministère des Ressources naturelles et de la Faune du Québec



DOSSIER PUBLIC 5974 DE LA CGC / GSC OPEN FILE 5974
DP 2008-35 DU MRNF

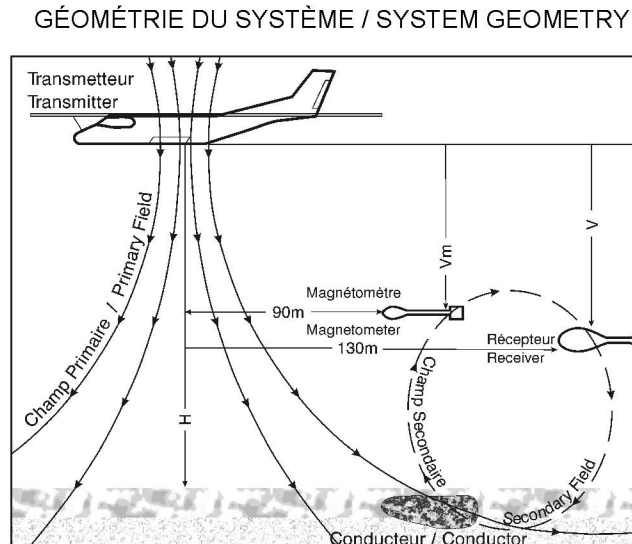
SÉRIE DES CARTES GÉOPHYSIQUES / GEOPHYSICAL SERIES
SNRC 32 F/9 / NTS 32 F/9

LEVÉS MEGATEM[®]II DE LA CEINTURE DE ROCHES VERTES DE L'ABITIBI, QUÉBEC
MEGATEM[®]II SURVEYS OF THE ABITIBI GREENSTONE BELT, QUEBEC

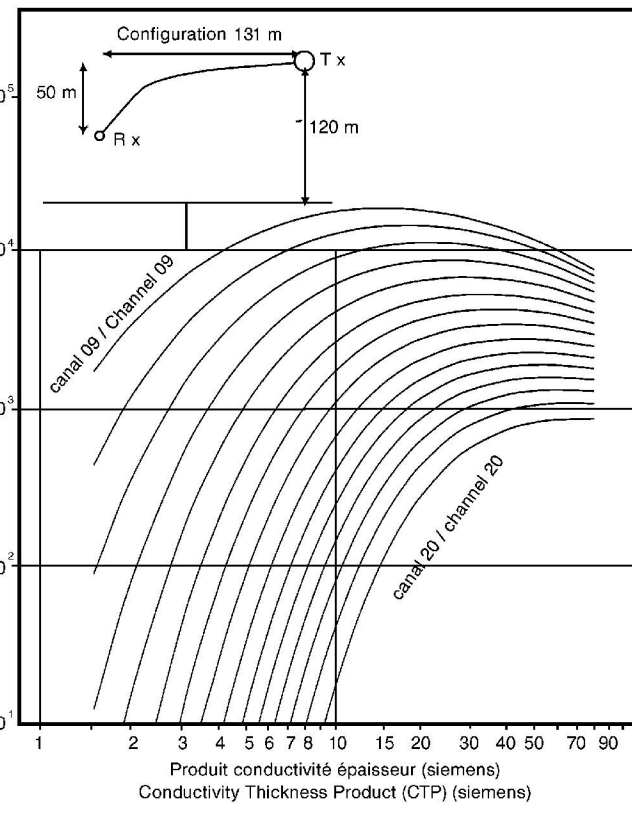
CONDUCTANCE APPARENTE
APPARENT CONDUCTANCE

Échelle 1/50 000 - Scale 1:50 000
kilomètres 1 2 3 4

SÉRIE DES CARTES GÉOPHYSIQUES
CONDUCTANCE APPARENTE



NOMOGRAMME / NOMOGRAM
PLAQUE VERTICALE / VERTICAL PLATE
90 HZ / 2ms

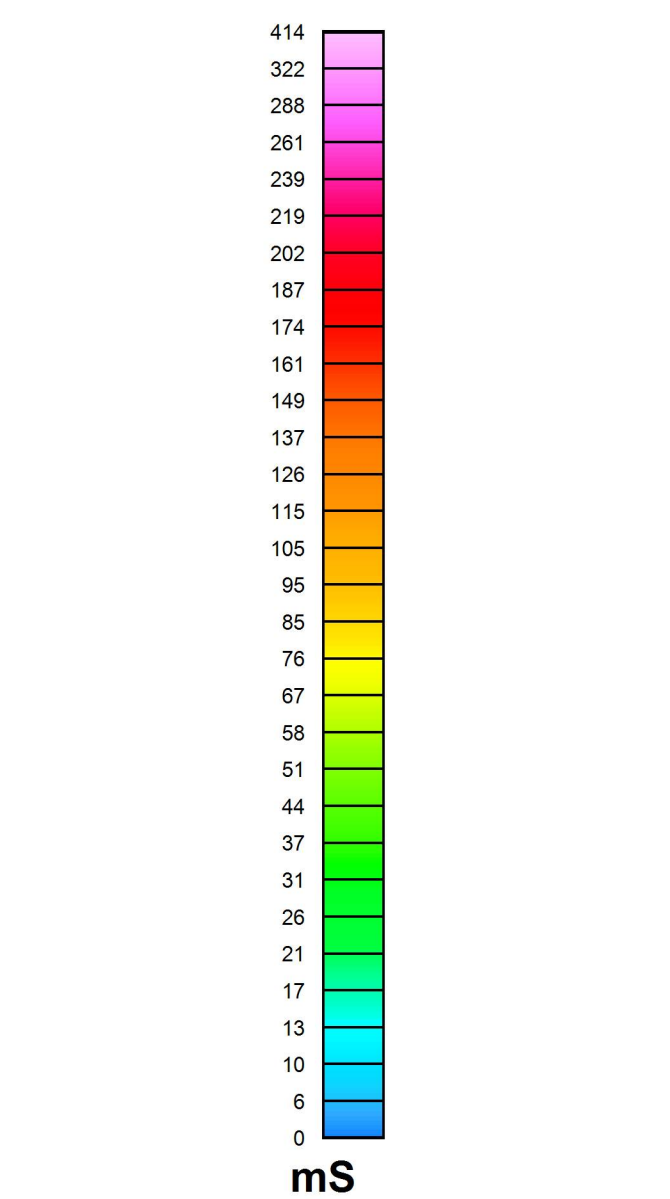


SYMBÔLES DES ANOMALIES ÉLECTROMAGNÉTIQUES
ELECTROMAGNETIC ANOMALY SYMBOLS

- Anomalie / Anomaly Canaux / Channels
- Superficielle / Surficial
 - Anthropique / Cultural
 - 1-2
 - 3-4
 - 5-6
 - 7-8
 - 9-10
 - 11-12

SYMBÔLES PLANIMÉTRIQUES
PLANIMETRIC SYMBOLS

- Routes / Routes
- Chemins de fer / Railway
- Lignes de transport d'énergie / Power Line
- Drainage / Drainage
- Roads / Routes
- Railway
- Power Line
- Drainage



SOMMAIRE DES FEUILLETS / MAP SHEET SUMMARY

CGC / GSC Feuille / sheet	CARTE / MAP	MRNF Feuille / sheet
1	Composante résiduelle du champ magnétique total Residual Total Magnetic Field	C001
2	Dérivée première verticale du champ magnétique First Vertical Derivative of the Magnetic Field	C002
3	Conductance Apparente Apparent Conductance	C003
4	Anomalies électromagnétiques et Right Path	C004

OPEN FILE
DOSSIER PUBLIC
5974

GEOLOGICAL SURVEY OF CANADA
COMMISSION GÉOLOGIQUE DU CANADA

2009

SHEET 3 OF 4
FEUILLET 3 DE 4

Open files are products that have not gone through the GSC format review process.

Les documents publics sont des produits qui n'ont pas été soumis au processus de mise en forme de la CGC.

Introduction

Plusieurs gisements de métaux communs découverts en Abitibi depuis les années 1950 ont été trouvés au moyen de techniques géophysiques et géochimiques courantes durant cette période ainsi que par prospection géologique. En raison de leurs limites, ces méthodes techniques n'ont permis la découverte des anomalies minérales localisées près de la surface. Suite à la découverte en 2000 du gisement Perséverance près de Matagami par le système MEGATEM[®], Noranda Exploration (maintenant Xstrata Zinc Canada) et ses partenaires Mines d'Or Virginia Inc. (maintenant Mines Virginia Inc.) et Norovest ont fait effectuer des levés additionnels MEGATEM[®] par Fugro Airborne Surveys (FAS) dans la ceinture de roches vertes de l'Abitibi. L'objectif était de rechercher des dépôts de métaux communs plus grands que les gisements actuels. Les levés MEGATEM[®] ont été effectués en 2001 et 2002. Les données ont été recueillies par un système électromagnétique à domaine temporel du type MEGATEM[®] II et par un magnétomètre au césium à réseau divisé. Les capteurs électromagnétique et magnétique étaient remorqués par un aéronef (modèle DASH 7). L'épaveur nominal des lignes de vol était de 200 m et la hauteur moyenne de vol de l'aéronef était de 120 m. Les lignes de contrôle étaient orthogonales aux lignes de vol. La trajectoire de vol a été déterminée en apportant des corrections différentielles aux données GPS reçues après le vol. Une caméra vidéo était à la verticale au-dessus des images du sol. Les données magnétiques ont été enregistrées à une fréquence de 10 Hz et les données électromagnétiques, à une fréquence de 90 Hz. Par la suite, elles ont été interprétées dans le domaine des données finales à une fréquence de 5 Hz pour chaque levé. La fréquence du système électromagnétique fut de 90 Hz pour tous les levés pour un taux de répétition de 180 pulses par seconde. L'épaveur des lignes de contrôle, la hauteur des capteurs et les paramètres de fonctionnement des instruments ont varié selon les levés (voir le tableau ci-dessous).

Caractéristiques des levés

Ces levés ont été exécutés par FAS entre juillet 2001 et août 2003. Les données obtenues ont été recueillies par un système électromagnétique à domaine temporel du type MEGATEM[®] II et par un magnétomètre au césium à réseau divisé. Les capteurs électromagnétique et magnétique étaient remorqués par un aéronef (modèle DASH 7). L'épaveur nominal des lignes de vol était de 200 m et la hauteur moyenne de vol de l'aéronef était de 120 m. Les lignes de contrôle étaient orthogonales aux lignes de vol. La trajectoire de vol a été déterminée en apportant des corrections différentielles aux données GPS reçues après le vol. Une caméra vidéo était à la verticale au-dessus des images du sol. Les données magnétiques ont été enregistrées à une fréquence de 10 Hz et les données électromagnétiques, à une fréquence de 90 Hz. Par la suite, elles ont été interprétées dans le domaine des données finales à une fréquence de 5 Hz pour chaque levé. La fréquence du système électromagnétique fut de 90 Hz pour tous les levés pour un taux de répétition de 180 pulses par seconde. L'épaveur des lignes de contrôle, la hauteur des capteurs et les paramètres de fonctionnement des instruments ont varié selon les levés (voir le tableau ci-dessous).

Compilation des données

Toutes les données des levés ont été traitées et compilées par FAS. La Commission géologique du Canada (CGC) a fusionné les quadrillages de chacun des levés pour produire une seule image sans joint illustrant chaque thème de la présente représentation cartographique. Ces données n'ont pas été modifiées ou soumises à un traitement secondaire par la CGC.

FAS a d'abord corrigé les données magnétiques de chaque levé. Pour ce faire, l'élément de base fréquence des données magnétiques dures locales d'une station de base a été éliminé des données aériennes. Pour obtenir des données magnétiques totales, après application du décalage approprié, le champ géomagnétique international de référence (IGRF) a été calculé d'après la hauteur du capteur magnétométrique à chaque point dans la base de données et la latitude de l'exécution du levé, puis il a été soustrait pour obtenir le champ magnétique total résiduel. Les résultats ont ensuite été nivelés selon les lignes de contrôle, micro-nivelés et interpolés pour produire un quadrillage à maille de 50 m. L'élimination de l'IGRF, qui représente le champ magnétique du noyau terrestre, produit une composante résiduelle essentiellement rattachée à des magnétisations dans la croûte terrestre. La dérive première verticale a été calculée dans le domaine des fréquences à partir du quadrillage du champ magnétique total résiduel.

Système électromagnétique

Les données électromagnétiques ont été recueillies au moyen du système électromagnétique à domaine temporel du type MEGATEM[®] II. Ce système transmet un signal depuis une boucle horizontale centrée sur l'aéronef et mesure la réponse de conducteurs souterrains, au moyen d'un récepteur électromagnétique sur trois axes (X, Y et Z) qui enregistre des données sur 20 canaux, quatre fois par seconde, sur chacun des trois axes. Le récepteur électromagnétique mesure la base de variation (dB/dt) directement, et le champ magnétique secondaire B, qui résulte de la réponse magnétique.

L'interprétation quantitative des données du système MEGATEM[®] II repose sur la carte des anomalies électromagnétiques a été effectuée en comparant les réponses électromagnétiques à des nomogrammes issus de modèles mathématiques. Les rapports d'amplitude des canaux correspondant à une réponse donnée sont principalement fonction de la conductance de la source de la réponse. L'interprétation de la réponse varie selon la profondeur et la forme d'un conducteur. Les nomogrammes de référence du levé sont fondés sur la réponse d'une mince plaque rectangulaire verticale qui mesure 600 m dans sa direction générale, qui s'étend jusqu'à 300 m de profondeur et dont le bord supérieur est exposé à la surface du sol. Lorsque la forme d'un conducteur géologique diffère considérablement de celle d'une plaque verticale, les estimations sont incertaines, voire même nulles. Il faut être prudent au moment de recommander des forages ou d'autres travaux de suivi d'après l'interprétation quantitative de données électromagnétiques. Des résultats différents sont obtenus selon les modèles d'interprétation quantitative de données électromagnétiques.

Le système MEGATEM[®] II est sensible aux roches-terres conductrices, aux couches horizontales conductrices reposant près de la surface, aux sources anthropiques et aux conducteurs géants dans le substratum rocheux. L'identification de conducteurs naturels est fondée sur le taux de décroissance, la corrélation magnétique et la forme de la réponse, ainsi que sur le mode de réponse et la topographie. Les réponses anthropiques sont distinguées grâce à un appareil de surveillance des lignes de transport d'énergie et à la vidéo du vol.

Représentation des anomalies électromagnétiques

En raison de contraintes d'échelle, seuls l'emplacement et les caractéristiques de certaines anomalies électromagnétiques sont représentés par des symboles fondés sur des réponses associées aux canaux. Pour obtenir des données quantitatives plus détaillées sur les anomalies représentées sur ces cartes, l'utilisateur peut consulter la liste des anomalies rattachées au jeu de données numériques de chaque levé. Les anomalies électromagnétiques de cette présentation sont celles sélectionnées par FAS. Une autre sélection des anomalies a été faite par Xstrata Zinc Canada afin d'identifier uniquement les anomalies utiles à l'exploration des métaux communs. Les deux listes d'anomalies sont disponibles sous forme numérique.

Introduction

Many of the base metal deposits discovered in the Abitibi Mining Camp during the 1950s were found using geochemical and geophysical methods available at that time as well as geological prospecting. Limitations of these older techniques resulted in detection of only those mineral deposits within a few metres of the earth's surface. Following the discovery of the Perséverance deposit in 2000 by the MEGATEM[®] airborne electromagnetic system near Matagami, Noranda Exploration (now Xstrata Zinc Canada) and its partners Mines d'Or Virginia Inc. (now Mines Virginia Inc.) and Norovest carried out MEGATEM[®] II surveys from by Fugro Airborne Surveys (FAS) in the Abitibi greenstone belt. The objective was to search for new ore bodies buried to as deep as 300 metres. Xstrata Zinc Canada and Mines Virginia Inc. relied on the most of these data available to the public in the interest of encouraging further exploration in the region. These surveys total 65 255 km of flight lines. The Connaught, Grevel, Hunter, Vale d'Or and Langquedoc were flown for Noranda Exploration while the others were completed for Noranda Exploration and its partner d'Or Virginia Inc.

Survey characteristics

These surveys were carried out by FAS between July 2001 and August 2003. The data were acquired using a MEGATEM[®] II time domain EM system and a split-beam cesium vapour magnetometer. The EM receiver and the magnetometer were towed behind the aircraft (DASH 7). The nominal traverse line spacing was 200 m and the aircraft flew at a nominal terrain clearance of 120 m. Control lines were flown orthogonal to the traverse lines. The flight path was recovered using post-flight differential corrections to the raw Global Positioning System data. A vertically mounted video camera was used to record images of the ground. The magnetic data were recorded at 10 Hz. Electromagnetic data were recorded at 90 Hz. These were subsequently re-sampled to 5 Hz in the final databases for each block. The correction frequency of 90 Hz and pulse repetition rate 180 pulses/second remained constant for all surveys. The control line separation, sensor height and instrument operating parameters which may vary for each survey are shown in the specifications table below.

Data Compilation

All survey data were processed and compiled by FAS. The Geological Survey of Canada (GSC) merged the grids of individual blocks into one seamless image of each theme for the map presentation. These data have not been altered or re-processed by the GSC in any way.

At FAS, the magnetic data for each survey block were first adjusted by the removal of the low frequency component of the local magnetic base station diurnal data from the airborne total magnetic intensity data after appropriate lags had been applied. The International Geomagnetic Reference Field (IGRF) was calculated for the magnetometer sensor height at each point in the database for the date of execution of each survey and removed to produce the residual magnetic total field. The results were levelled using the control lines, micro-levelled and interpolated to a 50 m grid. Removal of the IGRF, representing the magnetic field of the Earth's core, produces a residual component related essentially to magnetizations within the Earth's crust. The first vertical derivative was calculated from the final residual total magnetic field grid in the frequency domain.

Electromagnetic System

Electromagnetic data were acquired using the MEGATEM[®] II time domain EM system. The system transmits a signal from a horizontal loop, centred at the aircraft, and measures the response of buried conductors using a three-axis (X, Y and Z) electromagnetic receiver recording 20 channels of data four times per second on each of the three components. The EM receiver measures dB/dt directly and the secondary magnetic field B is numerically integrated.

The quantitative interpretation of the MEGATEM[®] II data presented in the EM anomaly map was accomplished by comparing the EM responses with nomograms obtained from mathematical models. The channel amplitude ratios of a given response are mainly a function of the conductance of its source. The response magnitude varies with conductor depth and geometry. The reference nomograms for the survey are based on the response of a vertical rectangular thin plate having a 600 m strike length and 300 m depth extent, and with its upper edge located at ground surface. If the shape of a geological conductor differs significantly from a vertical plate, estimates will be inaccurate or, in extreme situations, meaningless. Therefore, caution should be exercised when making recommendations for drilling or other follow-up activities based on quantitative interpretation of airborne EM data. Different results will be obtained using other models for quantitative interpretation.

The MEGATEM[®] II system responds to conductive overburden, near-surface horizontal conductive layers, man-made sources and bedrock conductors. Identification of natural conductors is based on the rate of transient decay, magnetic correlation and response shape, together with the response pattern and topography. Man-made responses are identifiable by examining the power line monitor and the flight track video.

EM Anomaly Presentation

Due to map scale constraints in this presentation, only the anomaly picks are located by symbols based on channel responses. For more detailed quantitative information on the anomalies presented on these maps, the user is referred to the anomaly-listing report associated with the digital data set for each survey area. The electromagnetic anomaly picks used in this presentation are those provided by FAS. A separate anomaly selection was prepared by Xstrata Zinc Canada in order to identify only the EM anomalies useful for base metal exploration. Both anomaly listings are available digitally.

Tableau des paramètres des levés / Table of Survey Parameters

Zone Area	Nom du levé Survey name	Kilomètres Total Kilometres	Épaveur des lignes de contrôle (Control Line Spacing) (m)	Ta.X.Y.H (m)	Ta.Y.H (m)	Durée de l'enquête Pulse Width (s)	Temps mort Off-Time (s)	Moment Épaveur / Dérive MAGNETIC (min)
A	Bellefleur Ouest	2 802	4	131	56	2000	3005	1.8
B	Magnum Ouest	1 698	4	130	46	2000	3005	1.8
C	Dieppe	3 054	4	131	56	2000	3005	1.96
D	Joubert	5 025	4	130	46	2000	3005	1.8
E	Vallée de la	261	4	200	131	2000	3005	1.96
F	Normand Est	11 178	4	131	56	2000	3005	1.96
G	Sossone	4 427	4	131	56	2000	3005	1.8
H	Grand Ouest	1 500	4	131	56	2000	3005	1.96
I	Grand Nord	8 397	5	131	56	2000	3005	1.75
J	Connaught	7 150	4	131	56	2000	3005	1.75
K	Hunter	1 680	4	131	56	2000	3005	1.75
L	Langquedoc	5 993	5	131	56	2000	3005	1.75
M	Amara Ouest	2 814	4	131	56	2000	3005	1.8
N	Amara	8 806	4	131	56	2000	3005	1.7
O	Amara Est	2 019	4	131	56	2000	3005	1.96
P	Vale d'Or	8 738	4	131	56	2000	3005	1.75

SYSTÈME NATIONAL DE RÉFÉRENCE CARTOGRAPHIQUE ET INDEX DES CARTES GÉOPHYSIQUES
NATIONAL TOPOGRAPHIC SYSTEM REFERENCE AND GEOPHYSICAL MAP INDEX

45°30'	5964 5975 5986 5997 6008 6019 6030 6041 6052 6063 6074 6085 6096 6107 6118 6129 6140 6151 6162 6173 6184 6195 6206 6217 6228 6239 6250 6261 6272 6283 6294 6305 6316 6327 6338 6349 6360 6371 6382 6393 6404 6415 6426 6437 6448 6459 6470 6481 6492 6503 6514 6525 6536 6547 6558 6569 6580 6591 6602 6613 6624 6635 6646 6657 6668 6679 6690 6701 6712 6723 6734 6745 6756 6767 6778 6789 6800 6811 6822 6833 6844 6855 6866 6877 6888 6899 6910 6921 6932 6943 6954 6965 6976 6987 6998 7009 7020 7031 7042 7053 7064 7075 7086 7097 7108 7119 7130 7141 7152 7163 7174 7185 7196 7207 7218 7229 7240 7251 7262 7273 7284 7295 7306 7317 7328 7339 7350 7361 7372 7383 7394 7405 7416 7427 7438 7449 7460 7471 7482 7493 7504 7515 7526 7537 7548 7559 7570 7581 7592 7603 7614 7625 7636 7647 7658 7669 7680 7691 7702 7713 7724 7735 7746 7757 7768 7779 7790 7801 7812 7823 7834 7845 7856 7867 7878 7889 7900 7911 7922 7933 7944 7955 7966 7977 7988 7999 8010 8021 8032 8043 8054 8065 8076 8087 8098 8109 8120 8131 8142 8153 8164 8175 8186 8197 8208 8219 8230 8241 8252 8263 8274 8285 8296 8307 8318 8329 8340 8351 8362 8373 8384 8395 8406 8417 8428 8439 8450 8461 8472 8483 8494 8505 8516 8527 8538 8549 8560 8571 8582 8593 8604 8615 8626 8637 8648 8659 8670 8681 8692 8703 8714 8725 8736 8747 8758 8769 8780 8791 8802 8813 8824 8835 8846 8857 8868 8879 8890 8901 8912 8923 8934 8945 8956 8967 8978 8989 9000 9011 9022 9033 9044 9055 9066 9077 9088 9099 9110 9121 9132 9143 9154 9165 9176 9187 9198 9209 9220 9231 9242 9253 9264 9275 9286 9297 9308 9319 9330 9341 9352 9363 9374 9385 9396 9407 9418 9429 9440 9451 9462 9473 9484 9495 9506 9517 9528 9539 9550 9561 9572 9583 9594 9605 9616 9627 9638 9649 9660 9671 9682 9693 9704 9715 9726 9737 9748 9759 9770 9781 9792 9803 9814 9825 9836 9847 9858 9869 9880 9891 9902 9913 9924 9935 9946 9957 9968 9979 9990 10000	5965 5976 5987 5998 6009 6020 6031 6042 6053 6064 6075 6086 6097 6108 6119 6130 6141 6152 6163 6174 6185 6196 6207 6218 6229 6240 6251 6262 6273 6284 6295 6306 6317 6328 6339 6350 6361 6372 6383 6394 6405 6416 6427 6438 6449 6460 6471 6482 6493 6504 6515 6526 6537 6548 6559 6570 6581 6592 6603 6614 6625 6636 6647 6658 6669 6680 6691 6702 6713 6724 6735 6746 6757 6768 6779 6790 6801 6812 6823 6834 6845 6856 6867 6878 6889 6900 6911 6922 6933 6944 6955 6966 6977 6988 6999 7010 7021 7032 7043 7054 7065 7076 7087 7098 7109 7120 7131 7142 7153 7164 7175 7186 7197 7208 7219 7230 7241 7252 7263 7274 7285 7296 7307 7318 7329 7340 7351 7362 7373 7384 7395 7406 7417 7428 7439 7450 7461 7472 7483 7494 7505 7516 7527 7538 7549 7560 7571 7582 7593 7604 7615 7626 7637 7648 7659 7670 7681 7692 7703 7714 7725 7736 7747 7758 7769 7780 7791 7802 7813 7824 7835 7846 7857 7868 7879 7890 7901 7912 7923 7934 7945 7956 7967 7978 7989 8000 8011 8022 8033 8044 8055 8066 8077 8088 8099 8110 8121 8132 8143 8154 8165 8176 8187 8198 8209 8220 8231 8242 8253 8264 8275 8286 8297 8308 8319 8330 8341 8352 8363 8374 8385 8396 8407 8418 8429 8440 8451 8462 8473 8484 8495 8506 8517 8528 8539 8550 8561 8572 8583 8594 8605 8616 8627 8638 8649 8660 8671 8682 8693 8704 8715 8726 8737 8748 8759 8770 8781 8792 8803 8814 8825 8836 8847 8858 8869 8880 8891 8902 8913 8924 8935 8946 8957 8968 8979 8990 9001 9012 9023 9034 9045 9056 9067 9078 9089 9099 9111 9122 9133 9144 9155 9166 9177 9188 9199 9210 9221 9232 9243 9254 9265 9276 9287 9298 9309 9320 9331 9342 9353 9364 9375 9386 9397 9408 9419 9430 9441 9452 9463 9474 9485 9496 9507 9518 9529 9540 9551 9562 9573 9584 9595 9606 9617 9628 9639 9650 9661 9672 9683 9694 9705 9716 9727 9738 9749 9760 9771 9782 9793 9804 9815 9826 9837 9848 9859 9870 9881 9892 9903 9914 9925 9936 9947 9958 9969 9980 9991 10000	Números de dossiers publics de la CQC : en rouge OSC Open File numbers shown in blue	45°00'
45°30'	D		45°00'	
45°00'	D		45°30'	
45°30'	D		45°00'	
45°00'	D		45°30'	
45°30'	D		45°00'	
45°00'	D		45°30'	
45°30'	D		45°00'	
45°00'	D		45°30'	
45°30'	D		45°00'	
45°00'	D		45°30'	
45°30'	D		45°00'	
45°00'	D		45°30'	
45°30'	D		45°00'	
45°00'	D		45°30'	
45°30'	D		45°00'	
45°00'	D		45°30'	
45°30'	D		45°00'	
45°00'	D		45°30'	
45°30'	D		45°00'	
45°00'	D		45°30'	
45°30'	D		45°00'	
45°00'	D		45°30'	
45°30'	D		45°00'	
45°00'	D		45°30'	
45°30'	D		45°00'	
45°00'	D		45°30'	
45°30'	D		45°00'	
45°00'	D		45°30'	
45°30'	D		45°00'	
45°00'	D		45°30'	
45°30'	D		45°00'	
45°00'	D		45°30'	
45°30'	D		45°00'	
45°00'	D		45°30'	
45°30'	D		45°00'	
45°00'	D		45°30'	
45°30'	D		45°00'	
45°00'	D		45°30'	
45°30'	D		45°00'	
45°00'	D		45°30'	
45°30'	D		45°00'	
45°00'	D		45°30'	
45°30'	D		45°00'	
45°00'	D		45°30'	
45°30'	D		45°00'	
45°00'	D		45°30'	
45°30'	D		45°00'	
45°00'	D		45°30'	
45°30'	D		45°00'	
45°00'	D		45°30'	
45°30'	D		45°00'	
45°00'	D		45°30'	
45°30'	D		45°00'	
45°00'	D		45°30'	
45°30'	D		45°00'	
45°00'	D		45°30'	
45°30'	D		45°00'	
45°00'	D		45°30'	
45°30'	D		45°00'	
45°00'	D		45°30'	
45°30'	D		45°00'	
45°00'	D		45°30'	
45°30'	D		45°00'	
45°00'	D		45°30'	
45°30'	D		45°00'	
45°00'	D		45°30'	
45°30'	D		45°00'	
45°00'	D		45°30'	
45°30'	D		45°00'	
45°00'	D		45°30'	
45°30'	D		45°00'	
45°00'	D		45°30'	
45°30'	D		45°00'	
45°00'	D		45°30'	
45°30'	D		45°00'	
45°00'	D		45°30'	
45°30'	D		45°00'	
45°00'	D		45°30'	
45°30'	D		45°00'	
45°00'	D		45°30'	
45°30'	D		45°00'	
45°00'	D		45°30'	
45°30'	D		45°00'	
45°00'	D		45°30'	
45°30'	D		45°00'	
45°00'	D		45°30'	
45°30'	D		45°00'	
45°00'	D		45°30'	
45°30'	D		45°00'	
45°00'	D		45°30'	
45°30'	D		45°00'	

LEVÉS MEGATEM[®]II DE LA CEINTURE DE ROCHES VERTES DE L'ABITIBI, QUÉBEC
MEGATEM[®]II SURVEYS OF THE ABITIBI GREENSTONE BELT, QUEBEC

Notation bibliographique courante :
Geological Survey of Canada et Ministère des Ressources naturelles et de la Faune du Québec, 2009.
Geophysical Series, NTS 32 F/9, MEGATEM[®] II Surveys of the Abitibi greenstone belt, Quebec.
Série de cartes géophysiques, SNRC 32 F/9, Levés MEGATEM[®]II de la ceinture de roches vertes de l'Abitibi, Québec.
Ministère des Ressources naturelles et de la Faune du Québec, 2009.
Ministère des Ressources naturelles et de la Faune du Québec, DP 2008-35, échelle 1:50 000.

Recommended citation:
Geological Survey of Canada and Ministère des Ressources naturelles et de la Faune du Québec, 2009.
Geophysical Series, NTS 32 F/9, MEGATEM[®] II Surveys of the Abitibi greenstone belt, Quebec.
Série de cartes géophysiques, SNRC 32 F/9, Levés MEGATEM[®]II de la ceinture de roches vertes de l'Abitibi, Québec.
Ministère des Ressources naturelles et de la Faune du Québec, 2009.
Ministère des Ressources naturelles et de la Faune du Québec, DP 2008-35, scale 1:50 000.